丹参酚酸 B和姜黄素抑制大鼠肝星状细胞细胞外信号调节激酶的磷酸化

成扬,平键,刘成,谭英姿,陈高峰(上海中医药大学附属曙光医院肝二科,上海 201203)

摘要:目的 研究丹参酚酸 B(SAB)和姜黄素 (Cur)对大鼠肝星状细胞 (HSC)增殖、活化和细胞外信号调节激酶 (ERK)的作用。方法 培养大鼠 HSC-T6,使用 SAB和 Cur处理细胞,采用 MTT法检测药物对细胞增殖的影响。收集裂解细胞并抽提细胞总蛋白,10%聚丙烯酰胺凝胶电泳分离蛋白,采用 Western blot法检测药物对细胞表达 α 平滑肌肌动蛋白 $(\alpha$ -SMA)、I型胶原、ERK和磷酸化 ERK的影响。结果 Cur剂量依赖性地抑制大鼠 HSC的增殖和活化,SAB和 Cur显著降低 α -SMA的表达水平 (P<0.01);SAB对 I型胶原的分泌无影响 (P>0.05)而 Cur显著减少 I型胶原的分泌 (P<0.05)。 SAB和 Cur对 ERK表达水平都没有显著影响 (P>0.05),但是显著降低了磷酸化 ERK的表达水平 (P<0.01) VS. P<0.05)。结论 SAB和 Cur能够抑制 HSC的增殖、活化和 ERK的磷酸化。

关键词:丹参酚酸 B:姜黄素:细胞外信号调节激酶:磷酸化

中图分类号: R965.1 文献标识码: A 文章编号:1007-7693(2007)02-0096-05

Salvianolic Acid B and Curcum in Inhibit the Phosphorylation of Extracellular Signal Regulated Kinase in Rat Hepatic Stellate Cells

CHENG Yang, PING Jian, LIU Cheng, TAN Ying-zi, CHEN Gao-feng (No. 2 Department of Liver Diseases, Shuguang Hospital Affiliated to Shanghai University of TCM, Shanghai 201203, China)

ABSTRACT: OBJECTIVE To study the effect of Salvianolic acid B (SAB) and Curcum in on the proliferation, activation and extracellular signal regulated kinase (ERK) in rat hepatic stellate cells. **METHODS** Rat hepatic stellate cells (HSC), T6, were cultured and treated with SAB or Curcum in according to the experimental protocol. The inhibition effect on cell proliferation was determined by 3-(4,5-dim thyl-2-2 thiazoly)-2,5-diphenyl-2H-tetrazolium brom ide colorimetry. Cells were harvested and lysed to extract total cellular proteins. Proteins were separated by 10% sodium dodecyl sulfate-polyacrylam ide gel electrophoresis, and the expression levels of α smooth muscle actin (α -SMA), type I collagen, ERK and phosphorylated-ERK after drug treatments were determined by Westerm blot. **RESULTS** Curcum in inhibited HSC proliferation in a dose-dependent manner. Both SAB and Curcum in reduced the expression level of α -SMA significantly (P < 0.01). SAB had no effect on the expression of type I collagen (P > 0.05) while Curcum in reduced the

基金项目:国家自然科学基金项目(No. 30300458);上海市教委重点学科建设项目(Y0302)

作者简介:成扬(1972-),男,硕士生导师,副研究员,博士,留法博士后。研究方向:中西医结合抗肝纤维化。 Tel: 021-51328888-8112, E-mail: chengyang@smmail.cn

expression of type I collagen significantly (P < 0.05). Both of SAB and Curcum in had no significant effect on the ERK expression level (P > 0.05), but significantly reduced phosphorylated-ERK expression level (P < 0.01 vs. P < 0.05, respectively). **CONCLUSION** SAB and Curcum in could significantly inhibit the proliferation, activation and ERK phosphorylation.

KEY WORDS: Salvianolic acid B; Curcum in; extracellular signal regulated kinase; phosphorylation

肝纤维化是各种慢性肝损伤后发生的修复过程,在此过 程中肝星状细胞 (hepatic stellate cells, HSC)活化并转分化为 肌成纤维样细胞,表现为细胞增殖增加、储存维生素 A的能 力下降、表达 α平滑肌肌动蛋白 (α smooth muscle actin, α-SMA)以及细胞外基质 (extracellular matrix, ECM)生成增 多[1]。目前治疗肝纤维化的药物或毒性较大或疗效欠佳,因 此寻找有效的抗肝纤维化药物十分迫切。丹参 (Sa loia Miltiormiza Bunge)和姜黄 (Curcuma Longa Linn)是应用历史悠久 的活血化瘀类药物,丹参水溶性成分主要是酚酸类化合物, 丹参酚酸 B(salvianolic acid B, SAB)是最主要的有效成 分[2];姜黄素 (curcum in, Cur)是从姜黄中提取的植物多酚, 是最重要的活性成分[3-4]。本实验主要探讨 SAB和 Cur对 HSC中丝裂原活化蛋白激酶信号通路 (mitogen activated protein kinase, MAPK)中细胞外信号调节激酶 (extracellular signal regulated kinase, ERK)的影响,以探索抗肝纤维化的新途 径并初步阐明其作用机制。

1 材料与方法

1.1 材料

- 1.1.1 大鼠肝星状细胞株 大鼠肝星状细胞株 HSC-T6,由 美国加利福尼亚旧金山总医院肝病研究中心 Scott Friedman 教授馈赠,本所常规保存。该细胞系由 SV40转染 SD大鼠肝 星状细胞建立而成,表型为活化的肝星状细胞^[5]。
- 1.1.2 主要试剂 Cur相对分子质量为 368.39,购自美国 Sigm a公司。SAB相对分子质量为 718,由中国科学院上海药物学研究所提供,含量以丹参酚酸 B镁盐 (C_{36} H_{28} MgO_{16})计不低于 80%。四甲基偶氮唑盐 [3-(4, 5-dim thyl-2-2 th iazoly)-2,5-diphenyl-2H-tetrazolium brom ide, MTT]为 Serva公司产品,DMEM培养基干粉为 Gibco公司产品,胎牛血清购自 Hyclone公司。

蛋白酶抑制剂 (complete mini)为 Roche公司产品。预染蛋白标准品为 Fementas公司产品。兔抗大鼠 I型胶原多克隆抗体,德国 Merck公司产品。小鼠抗大鼠 α-SMA单克隆抗体,购自 Sigma公司。兔抗大鼠 ERKI 多克隆抗体、小鼠抗大鼠磷酸化 ERKI /2(p-ERKI /2)单克隆抗体、辣根过氧化物酶标记的绵羊抗小鼠单克隆 II抗和山羊抗兔多克隆 II抗为Santa Cruz公司产品。小鼠抗大鼠β-actin单克隆抗体购自康成公司。DC蛋白定量试剂盒,Bio-Rad公司产品。ECL Westem印染发光试剂购自 PIRCE公司。其余常用试剂为分析纯。

1.1.3 实验用品及仪器 培养皿、培养板,美国 Coming公司产品。 CO₂培养箱和 HEALFORCE 生物安全柜,德国Heraeus公司制造。 Labsystems Multiskan MS Microplate Reader,芬兰制造。 XDS-1B倒置相差显微镜,重庆光电公司制造。

微量移液器,购自法国 Gilson公司。Western blot电泳设备,购自 Bio-Rad公司。复日 FR-980图像分析系统,上海复日科技有限公司。

1.2 方法

- 1.2.1 大鼠 HSC-T6的培养 复苏后的细胞以含 10%胎牛血清的 DMEM完全培养基均匀接种于培养皿,37℃,5% CO₂培养箱培养,当细胞处于对数生长期时,胰酶消化,培养液悬浮细胞,96孔培养板每孔 100 μL,60 mm培养皿每皿 2000 μL培养液培养,细胞融合达 80%时进行实验。
- 1.2.2 药物对细胞增殖的影响 细胞调整为 1×10⁴/L密度接种于 96孔培养板, 24 h后换低血清培养液培养 24 h。然后 Cur使用二甲基亚砜 (dimethyl sulfoxide, DMSO)助溶并用 2% FBS + DMEM培养液稀释,分别配成 10, 20, 30, 40 和 50 µm ol/L处理细胞,每种浓度至少 2~3 孔,并设无药细胞对照。加药培养 24 h后,倒置相差显微镜下观察细胞形态,台盼蓝染色观察细胞活力。倾去培养液,每孔加入 5 mg/mL的 MTT贮存液 10 µL,继续孵育 4 h,吸弃上清,加酸性异丙醇振荡溶解,然后在酶标仪 570 nm 波长处测定 A值。SAB工作浓度的选择参见本所既往报道 (21。
- 1.2.3 药物对 α-SMA、I型胶原、ERK和磷酸化 ERK的影响 1.2.3.1 药物干预方法 细胞接种于 60mm培养皿,根据 MTT结果并参照既往实验[34],Cur使用 DMSO助溶,无血清培养液稀释至 30 μmol/L,SAB以无血清培养液稀释至 1 μmol/L 21 ,每培养皿加入含药培养液 2 mL,孵育 24 h。
- 1.2.3.2 细胞总蛋白的提取、含量测定 药物干预细胞后,弃培养上清,用预冷的 PBS洗涤两次,加细胞裂解液及蛋白酶抑制剂。用细胞刮子将培养皿中的细胞刮下,收入 1.5 mL 离心管,混匀,4℃静置 30 m in;然后 4℃,12 000 r/m in,离心 15 m in,取上清即为细胞总蛋白, -70℃保存待测。总蛋白含量使用用 Bio-Rad公司 DC Protein Assay Reagent在酶标仪 690 nm波长测定。
- 1.2.3.3 蛋白电泳、电转移与膜封闭 制备 10%分离胶 10 mL和 5%积层胶 5 mL,将蛋白样品及标准蛋白与 1/4倍的样品缓冲液混合后,100℃加热 5 min以使蛋白变性,离心冷却后上样;将胶放入电泳槽,加适量电泳液,样品蛋白上样后80 V,电泳 2~3 h。将膜取出,上覆与凝胶大小相同的硝酸纤维素膜,两侧覆以滤纸和纤维垫,置于转膜槽中,加入适量转膜液,4℃,0.22A约 1.5 h,转膜结束后,去离子水洗 5 min,以 5%脱脂奶粉封闭,室温,水平摇床振荡 1 h。
- 1.2.3.4 抗原抗体反应 封闭结束后弃封闭液,分别加入 溶有 I抗[β-actin抗体(1:5000)、α-SMA抗体(1:5000)、I 型胶原抗体(1:200)、ERKI 多克隆抗体(1:500)和磷酸化 ERKI /2抗体(1:200)]的 5%脱脂奶粉 TTBS液(0.121%

Tris, 0 9% NaCl 0 1% Tween-20, pH 7. 5) 4℃、摇床过夜。TTBS洗膜 3次除去未结合的 I抗, 然后加入含辣根过氧化物酶标记 II抗 (根据 I抗不同加入绵羊抗小鼠 II抗或者山羊抗兔 II抗, 1:2 000~5 000)的 5% 脱脂奶粉 TTBS液, 室温、水平摇床振荡 1 h后, TTBS洗膜 3次约 30 m in, 除去未结合的 II抗。

1235 ECL显影、曝光 取等量的 ECL(A, B)试剂混匀,将膜浸入 1 m in 取出,保鲜膜封好,暗室里将膜与 X 线胶片置暗匣中,曝光 $2 \sim 5 \text{ m in}$,然后将 X 线胶片显影、定影各 1 m in 水洗,晾干。参照文献方法 [3] 目标条带使用图像分析软件扫描测定灰度值并使用内参照 β -actin进行校正分析。

2 数据统计与分析

各组测定值以均数 \pm 标准差 $(\bar{x} \pm s)$ 表示, 采用 SPSS 10 0软件包进行方差分析, P < 0 05为差异有显著性。

3 结果

3 1 Cur剂量依赖性抑制 HSC的增殖

MTT检测发现, 10, 20, 30, 40, 50 μmol/L的 Cur对大鼠 HSC-T6细胞增殖的抑制作用呈剂量依赖性增加, 倒置显微 镜下形态学观察结合台盼蓝检测发现 10~50 μmol/L的 Cur对 HSC没有明显毒性作用。分别选取 1 μmol/L的 SAB^[2]和 30 μmol/L的 Cur进行后续实验, 见图 1。

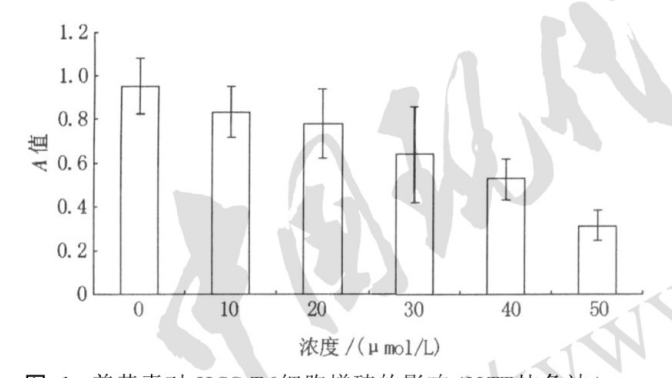


图 1 姜黄素对 HSC-T6细胞增殖的影响 (MTT比色法)

Fig 1 Effect of Curcum in on the proliferation of HSC-T6(MTT colorim etry)

3 2 SAB和 Cur抑制 HSC的活化

W estem blot结果发现 $1 \, \mu \text{mol/L}$ 的 SAB和 $30 \, \mu \text{mol/L}$ 的 Cur均能够显著降低 α -SMA蛋白的表达水平 ($P < 0 \, 01$),提示这两种药物可以抑制 HSC的活化,见图 2。

3 3 SAB和 Cur对 HSC表达 ECM 成分的影响

Cur显著降低 I型胶原的表达 (P < 0.05), 提示 Cur通过抑制 I型胶原的生成来抑制 ECM 的生成。而 SAB对 I型胶原的表达影响不大 (P > 0.05), 推测 SAB可能通过抑制 ECM 中其他成分而发挥作用 (见图 3)。

3 4 SAB和 Cur对 ERK 和磷酸化 ERK的影响

SAB和 Cur对 ERK 蛋白表达水平并无影响 (P > 0 05), 但是降低了磷酸化 ERK 蛋白的表达水平 (P < 0 01 vs P < 0 05), 提示药物能够抑制 ERK 的磷酸化 (见图 4)。

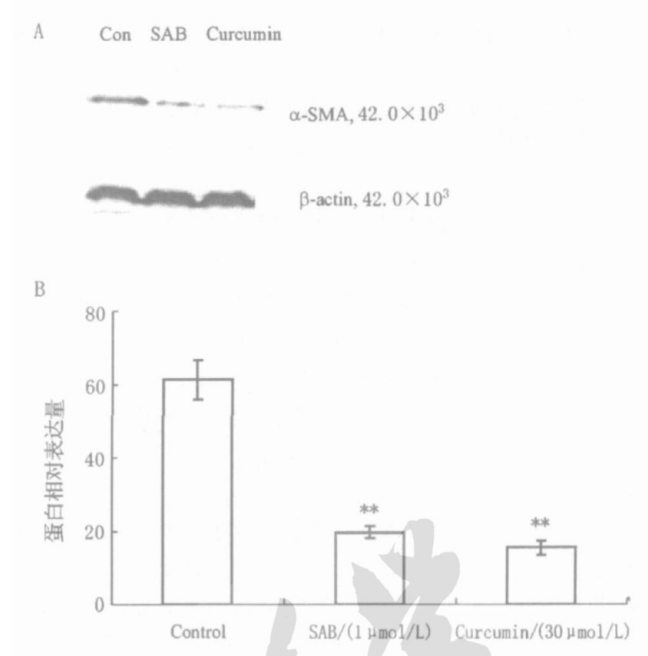


图 2 丹参酚酸 B和姜黄素对 α-SMA表达水平的影响

Fig. 2 Effect of SAB and Curcum in on the protein expression level of α -SMA

(A)上列为 α-SMA的检测条带,下列为作为内参照的 β-actin条带; (B)使用 β-actin校正的 α-sMA相对表达量。** P < 0 01与对照组相比较

(A) Top panel shows α -SMA, bottom panel shows β -acm, which was used as an internal control (B) Relative expression level of α -SMA were determined relative to β -actin ** P < 0.01 vs Control

SAB Curcumin

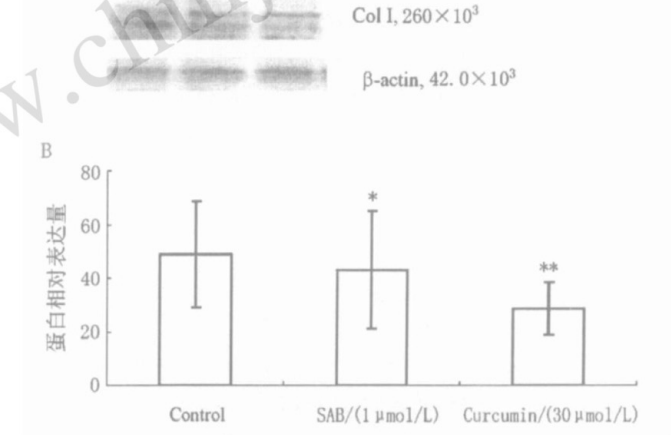


图 3 丹参酚酸 B和姜黄素对 I型胶原合成的影响

Fig. 3 $\,$ Effect of SAB and Curcum in on the protein expression level of Collagen I

(A)上列为 I型胶原检测条带,下列为内参照 β-actin条带; (B)使用 β-actin校正的 I型胶原相对表达量。 * P>0 05与对照组相比较; * * P<0 05与对照组相比较

(A) Top panel shows Collagen I bottom panel shows β -actin, which was used as an internal control (B) Relative expression level of Collagen I were determined relative to β -actin * P > 0.05 vs Control ** P < 0.05 vs Control **

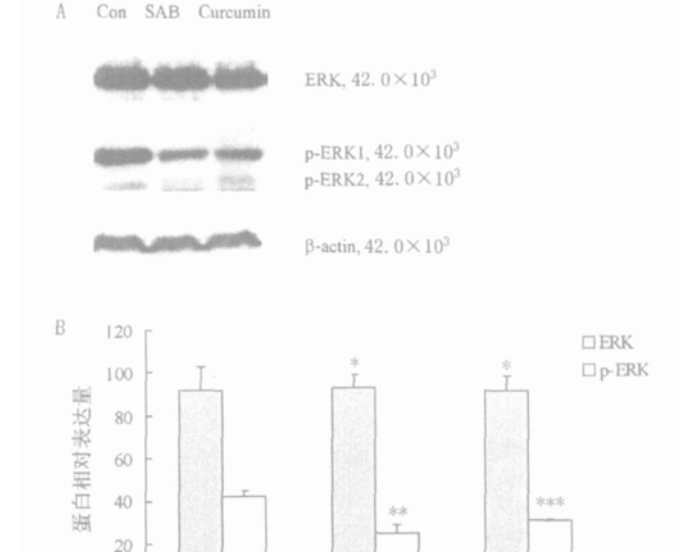


图 4 丹参酚酸 B和姜黄素对 ERK和磷酸化 ERK表达水平的影响

SAB/(1 µmol/L) Curcumin/(30 µmol/L)

Fig 4 Effect of SAB and Curcum in on the protein expression level of ERK and phosphorylated-ERK

(A)上列为 ERK条带,中列为磷酸化 ERK条带,下列为内参照 β-actin条带; (B)使用 β-actin校正的 ERK和磷酸化 ERK相对表达量。P>0.05与对照组相比较, P<0.01与对照组相比较, P=0.043与对照组相比较

(A) Top panel shows ERK, middle panel shows phosphorylated-ERK, bottom panel shows β -actin, which was used as an internal control; (B) Relative expression level of ERK and phosphorylated-ERK were determined relative to β -actin. P>0. 05 vs. Control; P<0. 01 vs. Control; P=0. 043 vs. Control

4 讨论

肝纤维化是各种慢性肝病的共同病理学基础[1-4],虽然 致病机制不完全相同,但不同病因肝纤维化发生的共同途径 是 HSC活化。HSC是位于 Disse间隙的一种间质细胞,正常 情况下处于静息状态,活化后 HSC具有收缩性的特点,因此 α-SMA的表达是 HSC激活的最重要标志。胶原是 ECM的 主要成分,正常肝脏中 III型胶原多于 I型胶原,肝纤维化时 胶原总量与种类均发生变化、I型胶原成为肝纤维化时纤维 间隔的主要成分之一。抑制 I型胶原的分泌不仅可以减少 ECM成分的增加,还可以减少 HSC的进一步活化[1,3]。大鼠 HSC-T6是通过将 SV40转染大鼠 HSC而建立的,表现型为活 化的 HSC,是较好的进行抗肝纤维化研究的细胞模型[3,5]。 丹参几乎是各种抗肝纤维化药物的必用之药[2].而姜黄在抗 肝纤维化中的作用也越来越引起重视[3-4,6-7]。抑制 HSC增 殖及 ECM生成是抗肝纤维化治疗的重要策略[1,3],既往发现 SAB具有一定的抗肝纤维化作用[2]。 Cur对四氯化碳、D氨 基半乳糖或者卡介苗加脂多糖诱导的小鼠急性肝损伤有保 护作用[7].并能够激活过氧化物酶体增殖因子 x信号转导途 径[4],但是对 MAPK信号通路中 ERK的影响尚不清楚。

细胞外刺激引起的效应需要通过细胞内信号传导途径 来实现,不同的信号传导途径引起不同的生物学效应[4,89]。 多数蛋白激酶不能穿透核膜,被激活的信号在细胞内传递并 最终活化转录因子导致基因表达和效应蛋白质的生成, MAPK是多种信号交汇点或共同通路。 ERK参与调控 HSC 的增殖,胶原合成及转化生长因子 β-1 自分泌过程,是 MAPK 信号通路的主要和经典通路[8-11],通过传递细胞丝裂原信 号,对细胞的局部黏附、迁移、增殖、分化、凋亡以及细胞周期 发挥重要影响。本研究发现 SAB和 Cur能够有效抑制 HSC 的增殖、活化以及合成 ECM成分,提示两者均能在细胞水平 发挥抗肝纤维化效应。两者对 ERK本身没有作用,但能抑 制 ERK的磷酸化,初步推测两者的抗肝纤维化效应与抑制 ERK磷酸化从而干扰其所介导的信号通路有关。但是由于 HSC活化受到多种因素、多条信号传导途径的调节, ERK并 非是调控 HSC表型改变的唯一通路[4.6]。肝纤维化的发生 机制极其复杂[1,4],这也是目前单一药物疗效并不理想的原 因,本研究发现 SAB和 Cur对检测指标影响程度并不完全一 致也证实了这点。多途径、多靶点的药物或者药物组合,可 能会比单一药物更加有效,或许能够改变目前抗肝纤维化药 物疗效欠佳的窘境。总之, SAB和 Cur在肝纤维化的治疗中 具有极大的应用潜力,值得进一步深入研究,对其作用机制 也有待深入阐明。

参考文献

- [1] FRIEDMAN S L. Mechanisms of disease: Mechanisms of hepatic fibrosis and the rapeutic implications [J]. Nat Clin Pract Gastroenterol Hepatol, 2004, 1(2): 98-105.
- [2] XU L, LIU C. Effect of Effect of salvianolic acid B on the proliferation and production of extracellular matrix in passaged rat hepatic fatty-storing cells[J]. Chin J Hepatol(中华肝脏病杂志), 1996,4(2):86-89.
- [3] CHENG Y, PING J, TAN Y, et al. Effect of Curcuma longa Linn extraction on the proliferation and activation of rat hepatic stellate cell[J]. World Journal of Infection(世界感染杂志), 2006, 6 (1):19-21.
- [4] CHENG Y, PING J, XU L, et al. Cureum in inhibits the activation marker of hepatic stellate cells by up-regulating the peroxisome proliferator activated receptor Y [J]. Chin J Pract Intern Med(中国实用内科杂志), 2006, 26(24):1937-1940.
- [5] VOGEL S, PIANTEDOSI R, FRANK J, et al. An immortalized rat liver stellate cell line (HSC-T6): a new cell model for the study of retinoid metabolism in vitro [J]. J Lipid Res, 2000, 41 (6):882-893.
- [6] CHENG Y, PING J. Salvianolic acid B and Curcum in reduce the phosphorylated extracellular signal regulated kinasel /2 expression level in rat hepatic stellate cells [J]. J Gastroenterol Hepatol, 2006, 21 (S2): Al 45.
- [7] LIU Y, CHEN H, JIANG Y. Protective effect of curcum in on experimental liver injury in mice[J]. China J Chin Mater Med(中国中药杂志), 2003, 28(8):756-758.

- 8] PINZANI M, MARRA F, CALIGIURI A, et al. Inhibition by pentoxifylline of extracellular signal-regulated kinase activation by platelet-derived growth factor in hepatic stellate cells[J]. Br J
- [9] SAXENA N K, TITUS M A, DING X, et al. Leptin as a novel profib rogenic cytokine in hepatic stellate cells: mitogenesis and inhibition of apoptosis mediated by extracellular regulated kinase (Erk) and Akt phosphorylation [J]. FASEB J, 2004, 18(13): 1612-1614.

Phamacol. 1996, 119(6): 1117-11124.

[10] MARRA F, ARRIGHIM C, FAZIM, et al. Extracellular signal-

regulated kinase activation differentially regulates platelet-derived growth factor's actions in hepatic stellate cells, and is induced by in vivo liver injury in the rat[J]. Hepatology, 1999, 30(4):951-958.

1] MARRA F, DELOGU W, PETRAI I, et al. Differential requirement of members of the MAPK family for CCl₂ expression by hepatic stellate cells[J]. Am J Physiol Gastrointest Liver Physiol, 2004, 287(1): Gl 8-G26.

收稿日期·2006-06-04